

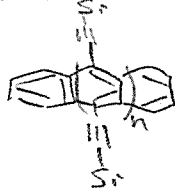
The synthesis, crystal structure and charge-transport properties of hexacene

acene化合物は、P型有機トランジスタの候補化合物群。



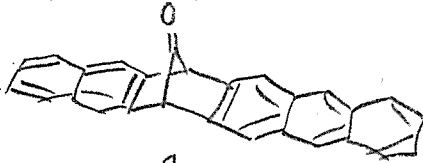
$n=0, 1, 2, 3$
 まは比較的
 空気中安定。

$n \geq 4$
 (1ナナセン以上)は、非重に不安定。

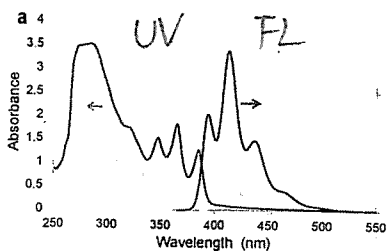
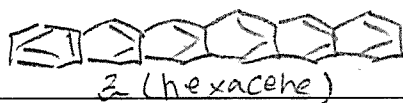


・ 高価な置換基の導入。
 ・ Matrix中での単結晶

<This Work>

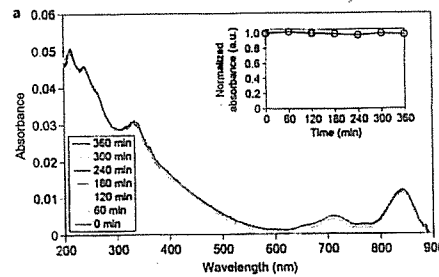


↓
 $\Delta, -CO, \text{quant}$



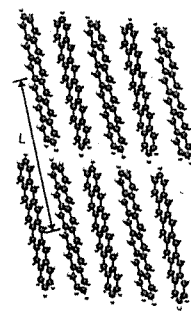
・ 有機溶媒への溶解性
 高い ($CHCl_3, THF$ に対し
 $\sim 0.3 \text{ mg mL}^{-1}$)
 ・ 高い安定性 (可視光下で、
 半年保存可 (SC))

180°C under N_2
 (solid, or spin-coated film)



(film)

・ FT-IR (1184 cm^{-1} の $C-H$ 伸縮消失)
 ・ MALDI 空気中で UV 照射すると
 降圧に 1st-ナナセンに 70%。



・ Crystal
 PVC 流下
 作製可。
 $C60-300^\circ C$
 Ar 流下
 ・ ハリボーン型



・ Top-contact FET
 $\mu_n = \text{up to } 4.28 \text{ cm}^2 \text{ V}^{-1} \text{ s}^{-1}$

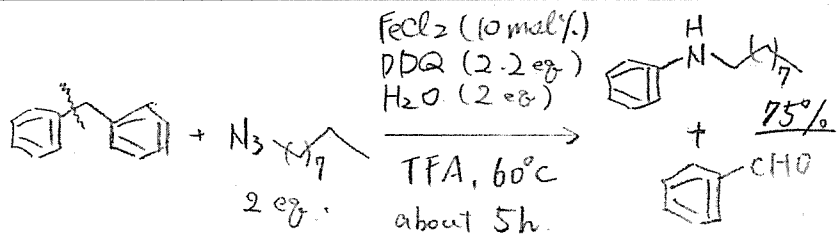
Ning Jiao

Peking University (China)

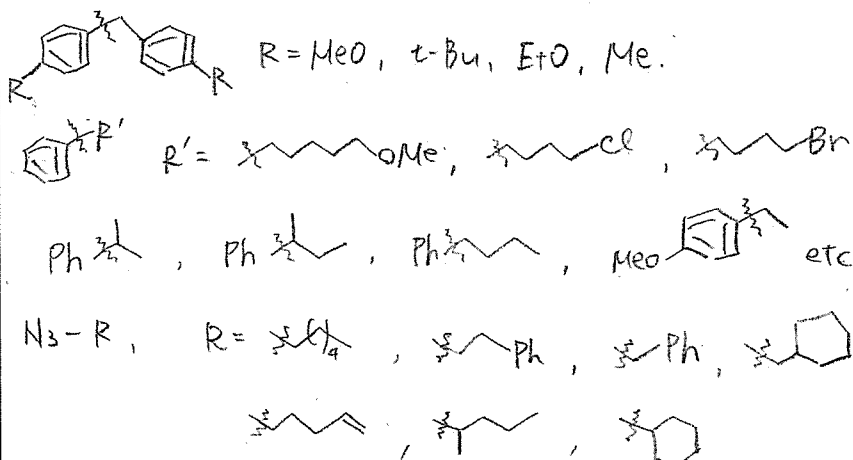
ACIE, 10.1002/anie.201202464

清川

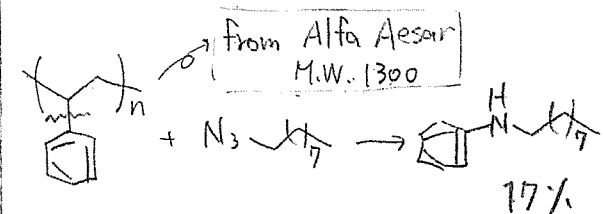
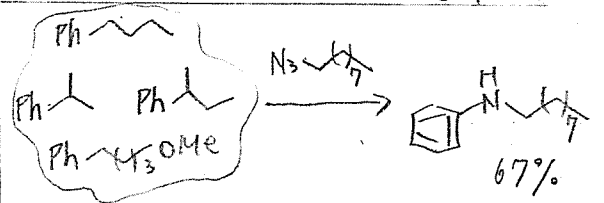
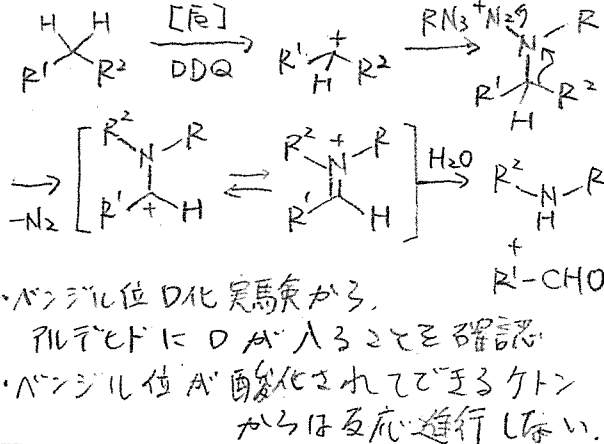
FeCl₂-Promoted Cleavage of the Unactivated C-C Bond of Alkylarenes and Polystyrene: Direct Synthesis of Arylamines



scope



反応条件、長 out. 子 (2) 反応は進行する。
 ・ 酸性条件が重要。



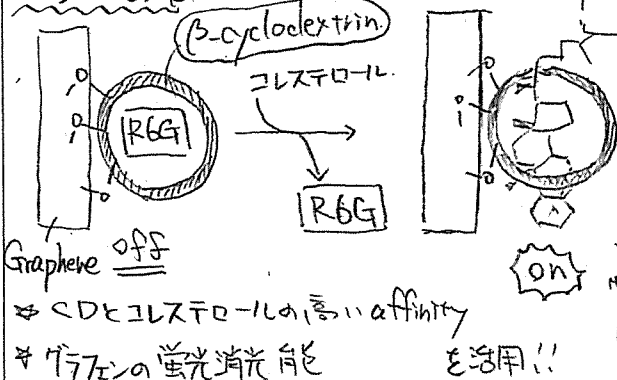
Fluorescent detection of cholesterol using β -cyclodextrin functionalized graphene

★ コレステロールの検出

コレステロール: 生体膜の構成物質
 健康なヒト: 2mg/L
 高いコレステロール値
 → 動脈硬化 etc..

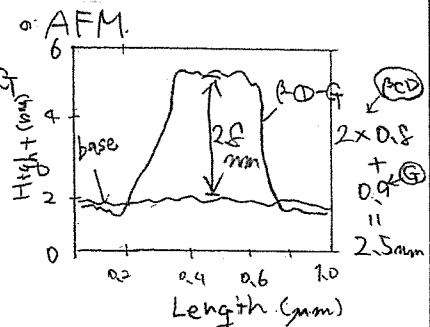
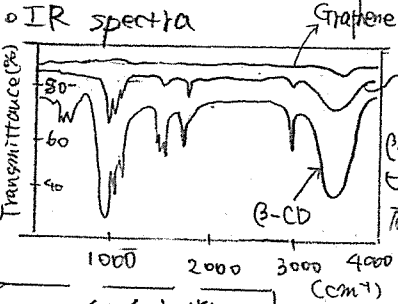
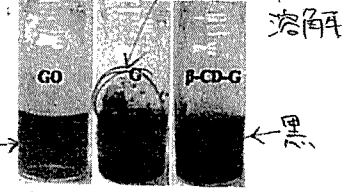
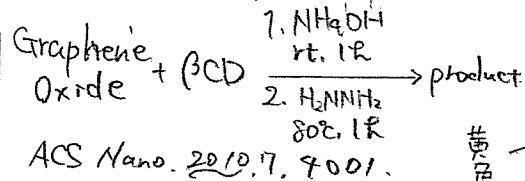
種々の検出法: 電気化学的手法
 蛍光を活用する手法
 酵素を活用する手法
 → 非常に高価. 且 変性の可能性あり

This Work

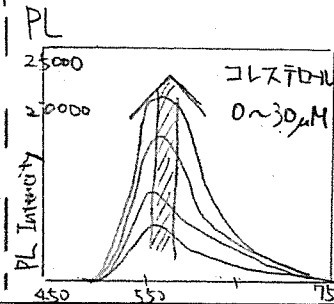


β-CDとコレステロールの高い affinity
 ★ グラフェンの蛍光消光能を活用!!

④合成 ~ β-Cyclodextrin 修飾した グラフェン ~



結合定数 1.55 M⁻¹

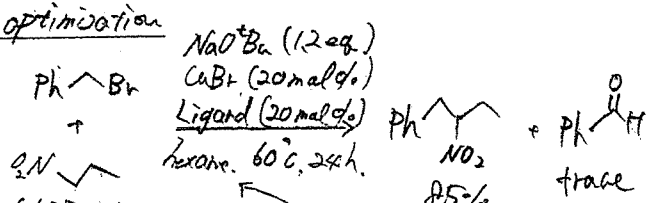
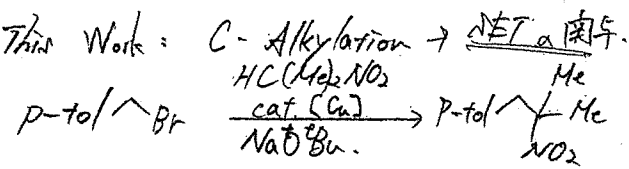
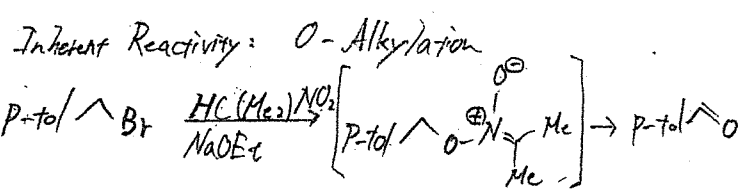


★ 血清中の他の分子が存在しても. 選択的にコレステロールを検出
 ex. NaCl, KCl, MgCl₂, amino acid, SDS
 ★ 中性の界面活性剤は△.

Donald A. Watson	University of Delaware (USA)	JACS. DOI:10.1021/ja304561cl	Okumura
------------------	------------------------------	------------------------------	---------

Benylation of Nitroalkanes Using Copper-Catalyzed Thermal Redox Catalysis: Toward the Facile C-Alkylation of Nitroalkanes

Alkylation of Nitronate Anions



• L = CuBr 配合物
 SETは銅と配位して水素を抜く
 配位が速 → Cu⁰が電子rich

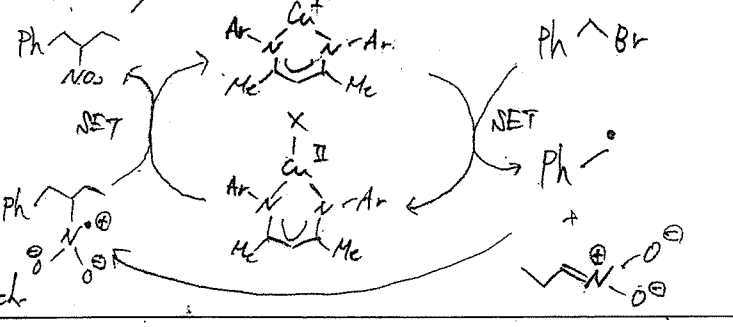
Scope

- Benzyl Bromides
- 置換基 立体 関係なし (20 examples 80~89%)
- 複素環 (pyridine, quinoline, thiophene, ...) OK!

Nitroalkanes

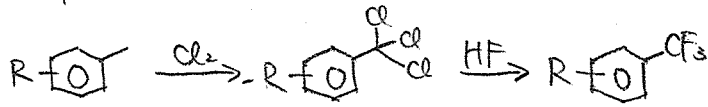
- 官能基 (double bond, ketone, ester) OK!
- Me, Me, NO₂ OK → 4級構造 9 examples 53~79%

pathway

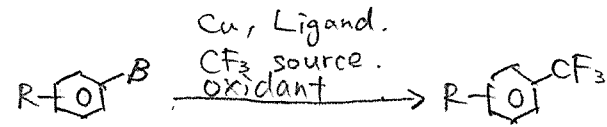


Fluoroform-Derived CuCF₃ for Low-Cost, Simple, Efficient, and Safe Trifluoromethylation of Aryl Boronic in Air

<Reported Trifluoromethylation>



- 官能基許容性が低い.
- 危険な試薬(O₂, HF)の使用

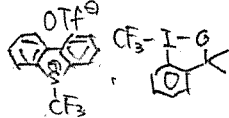


B = B(OH)₂, Bpin.

Cu: Cu(OAc)₂, [Cu₂(OTf)₂(C₆H₆)]...

Ligand: phen.

CF₃ source: CF₃SiMe₃.



oxidant: Ag₂CO₃, dry O₂, ...

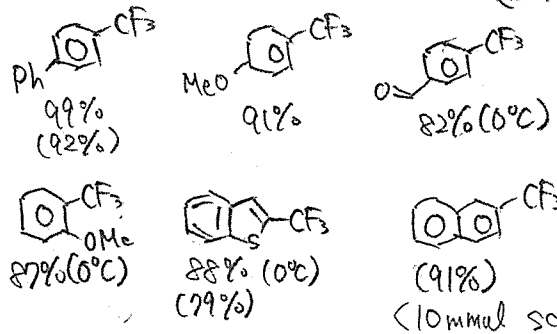
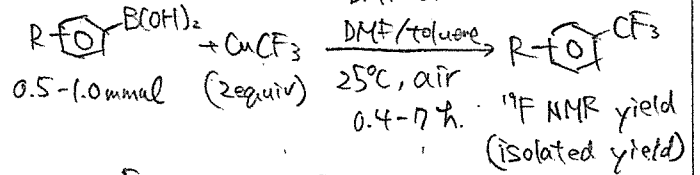
高価な試薬の使用. スケールアップが困難.

<Previous Work>

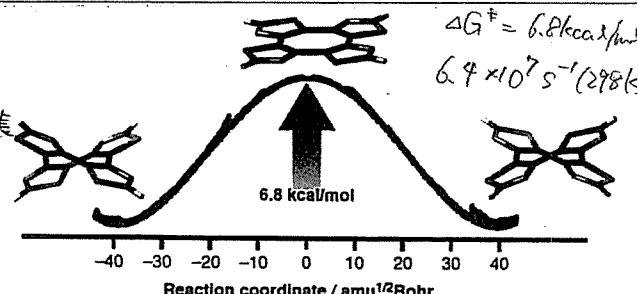
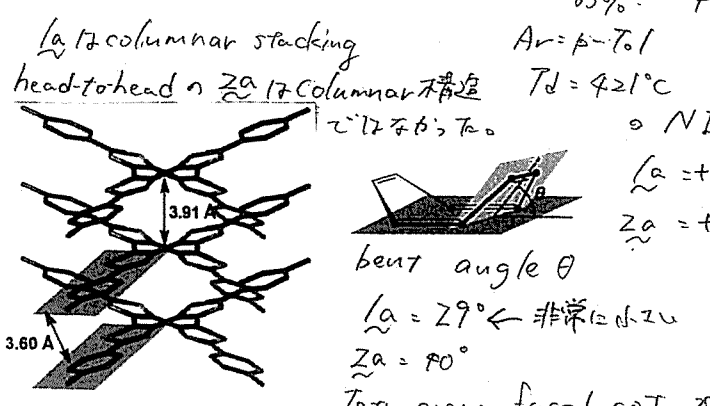
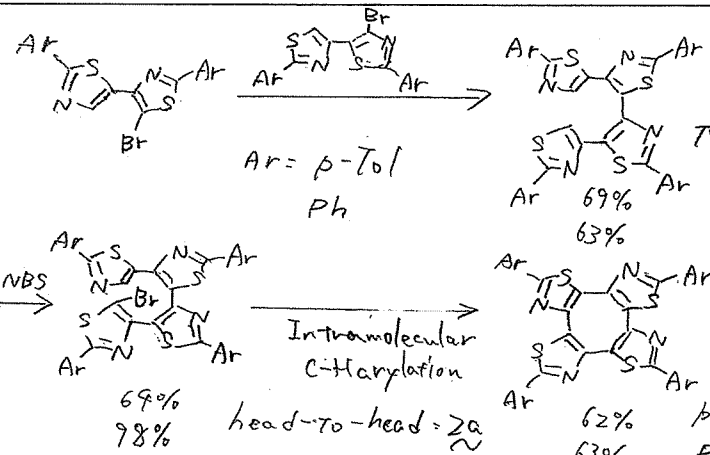


1. CF₃H → CuCF₃
2. Stabilization >90% with Et₃N(HF₃).

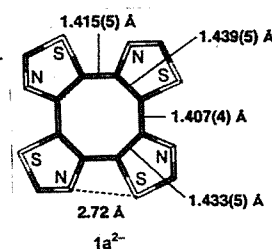
<This Work>



Highly Flexible π-Expanded Cyclooctatetraenes: Cyclic Thiazole Tetramers with Head-to-Tail Connection



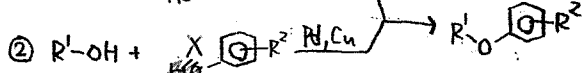
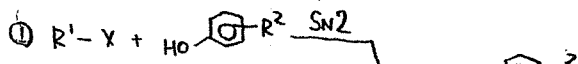
① = 10.7 kcal/mol, Z = 22.4 kcal/mol
1) 小さな C=C-S の結合角により, COT の内角が 135° に近くなる。→ θ の減少
2) head-to-tail 構造での 4ππ-π 環同士の立体障害が小さい。
3) 4ππ-π 環の導入により, 芳香族性が弱まる。
la²⁻ = 10π dianion
NICS(Co) = -14.8 ppm
NICS(C) = -12.5 ppm
[2,2,2] cryptand
la²⁻ = 10π dianion



Catalytic Aerobic Synthesis of Aromatic Ethers from Non-Aromatic Precursors

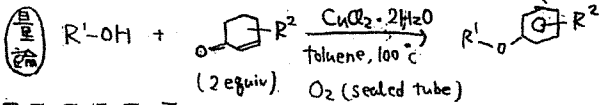
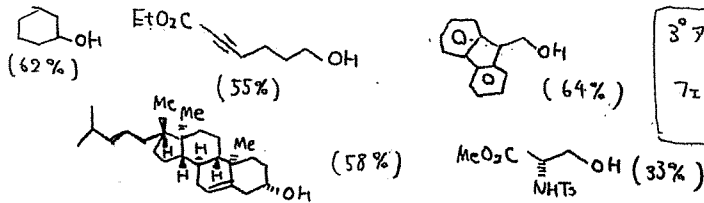
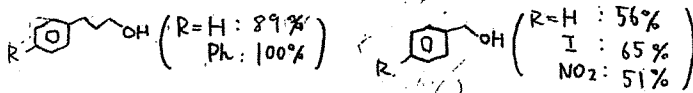
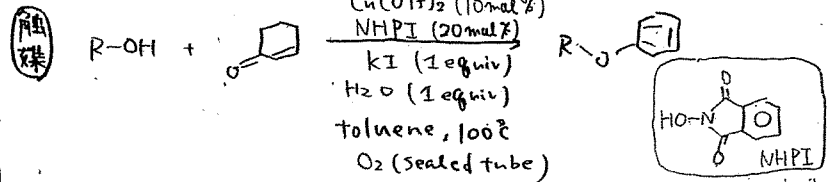
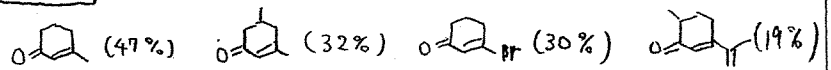
★アリールエーテルの合成

General approach



① Williamson エーテル合成 ② Pd... Buchwald-Hartwig 反応
Cu... Ullmann エーテル合成

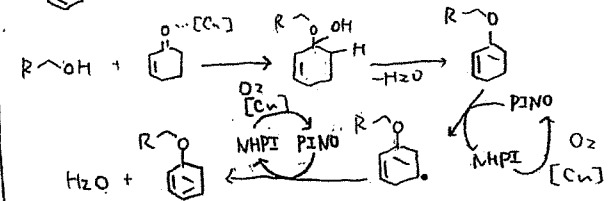
This work

Scope ① R¹: アリール (17 examples) vs 2-エトキシフェニルScope ② R²: エトキシ (6 examples) vs Ph-OH

アリールエーテルの合成は基質展開なし。大体、量論時と同じような収率

反応機構研究

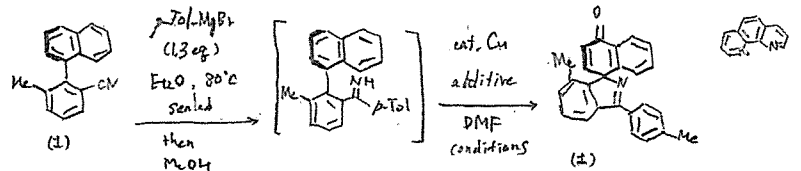
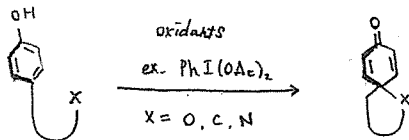
- フェニールは観察されない。
- c1ccc(O)cc1 / c1ccc(O)cc1 を c1ccc(O)cc1 の代わりに用いると no reaction
- フェニールは生成。



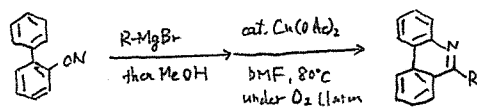
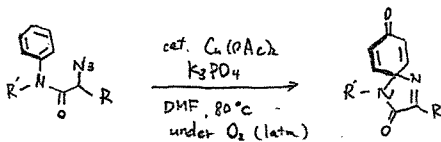
Copper-Catalyzed Aerobic Spirocyclization of Biaryl-N-H-imines via 1,4-Aminooxygenation of Benzene Rings

Spirodienone の構築

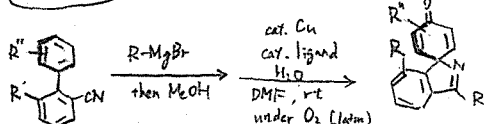
Optimization



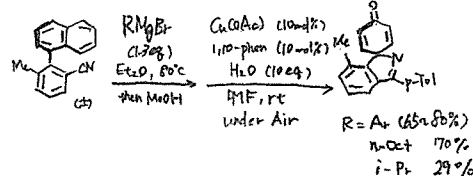
Previous Work



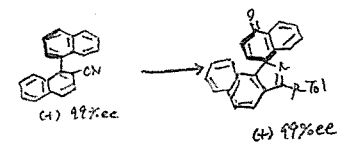
This Work



Scope

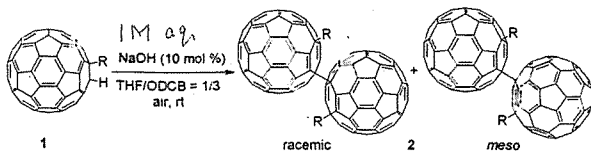


R¹=Me (60-82%)
R¹=Me, R²=H (97%)
R¹=H (32-49%)



Cu salts (mol%)	additive-1 (mol%)	additive-2 (eq)	conditions	yield (%)
Cu(OAc) ₂ (20)	—	—	O ₂ , 80°C, 20h	34
Cu(OAc) ₂ (20)	1,10-phen (20)	—	O ₂ , 80°C, 3h	61
Cu Br ₂ (20)	1,10-phen (20)	—	O ₂ , 80°C, 5h	50
Cu(OAc) ₂ (20)	1,10-phen (20)	—	O ₂ , rt, 3h	55
Cu(OAc) ₂ (20)	1,10-phen (20)	H ₂ O (10)	O ₂ , rt, 3h	81
Cu(OAc) ₂ (20)	1,10-phen (20)	H ₂ O (10)	air, rt, 2h	82
Cu(OAc) ₂ (10)	1,10-phen (10)	H ₂ O (10)	air, rt, 3h	80

NaOH-Catalyzed Dimerization of Monofunctionalized Hydrofullerenes: Transition-Metal-Free, General, and Efficient Synthesis of Single-Bonded [60]Fullerene Dimers

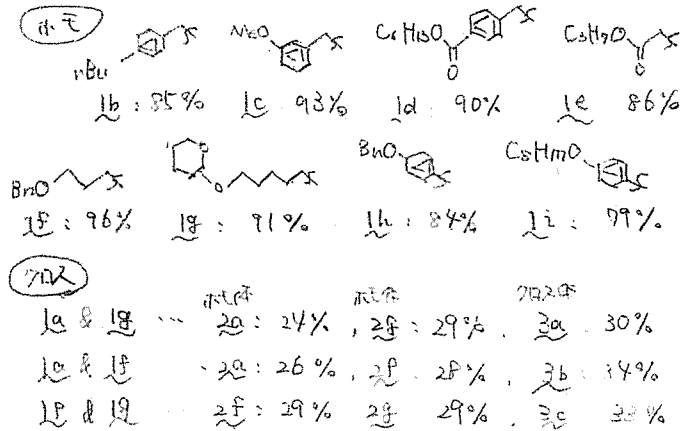


• 前報で銅(II)触媒を用いた91%の合成を報告した。
(Angew Chem Int Ed. 2012, 51, 802)
• 17/12/4 - 触媒反応は70%以上の高収率で進行。

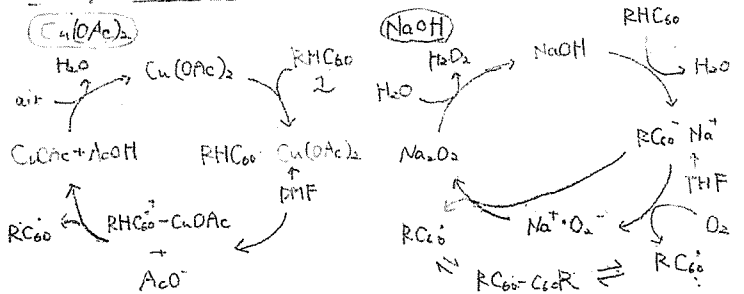
Conditions (R = Bu, Ia)

• solvent ... ODCB → 2に2は48%で10 → **90% Over!**
DMF 89%, THF 95%, MeOH 90%
trace: MeCN, CHCl₃ 0% (cosolvent: ODCB = 1/3)
• A + 第四期Fは全く反応しない。
• 塩基
KOMe, KO^tBu, CsOH, KOH等、強塩基は5%以下で
有機塩基は反応しない。(Me₃NOH = 88%)
Na₂CO₃, Et₃Nは収率低い。(9%, 26%)
塩基性触媒

Scope



Plausible Mechanism



Chaozhong Li

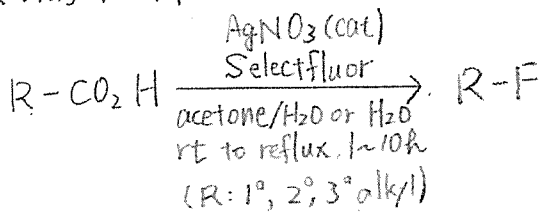
University of Science and Technology of China (China)

JACS: ja3048255

M1 岡崎

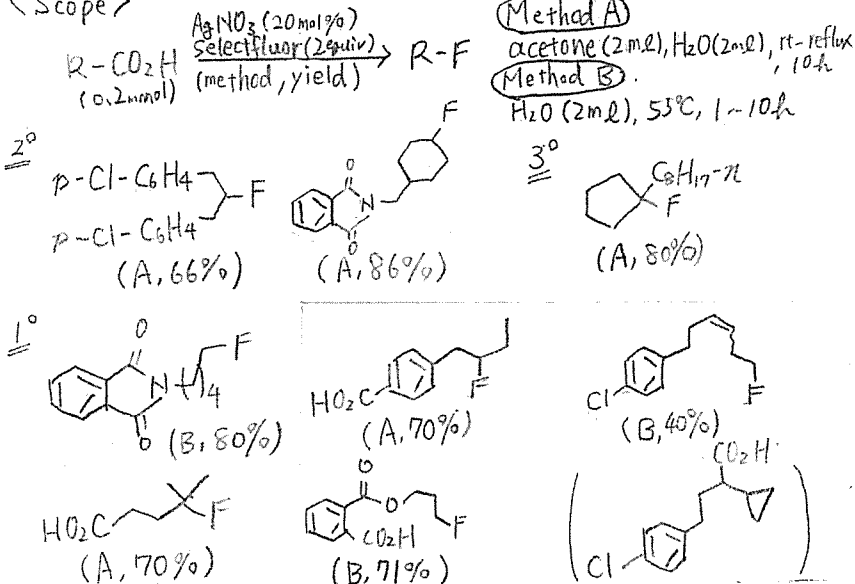
Silver-Catalyzed Decarboxylative Fluorination of Aliphatic Carboxylic Acids in Aqueous Solution

<This Work>

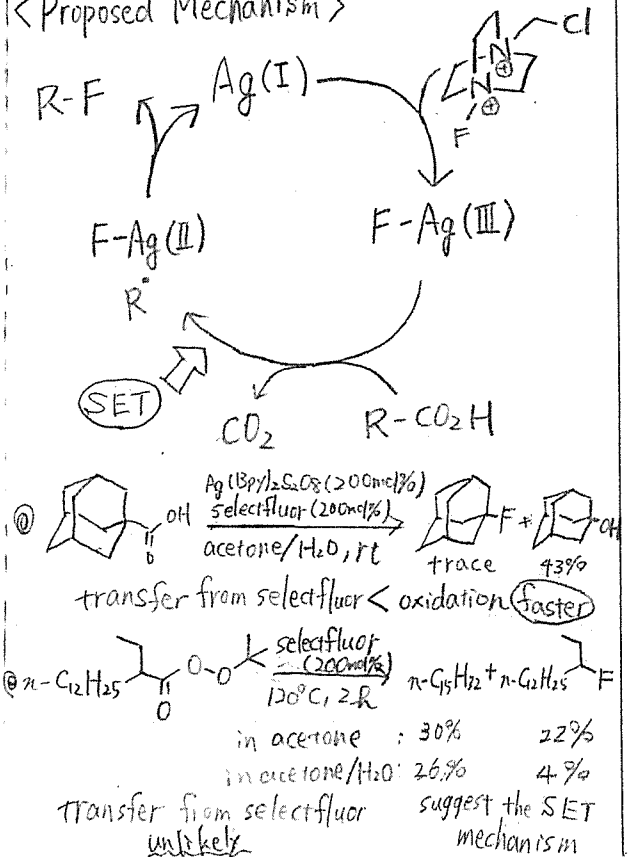


1. catalytic
2. efficient & general
3. chemoselective
4. wide functional group compatibility

<Scope>

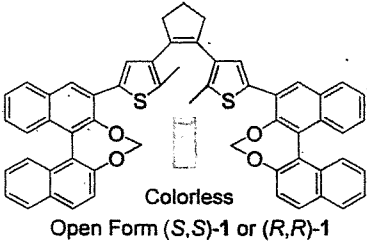


<Proposed Mechanism>

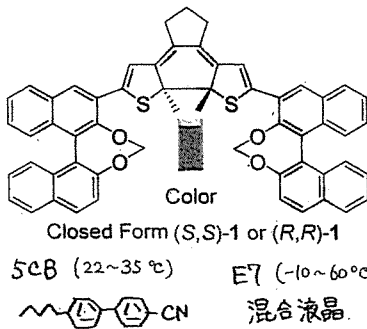


Reversible Light-Directed Red, Green, and Blue Reflection with Thermal Stability Enabled by a Self-Organized Helical Superstructure

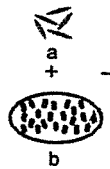
ネマチック液晶 (SCB, E7) と dithienylethene 誘導体試薬
→ 液晶かららせんを描く。



(550nm) Vis \leftrightarrow UV (310nm)

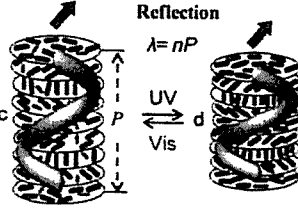


No Reflection



a: dithienylethene
b: ネマチック液晶

Reflection

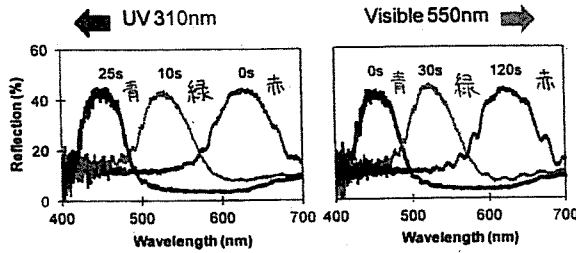


• UV (310nm) を照射してアゲると、ピッチの長さが短くなる。

らせん構造を形成すると、特定の波長の光を反射するようになる。

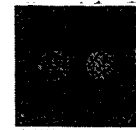
→ 波長はピッチの長さで依存。(ピッチは UV, Vis で制御可能)

• Vis (550nm) を照射すると元の長さに戻る。



UV (310nm) 照射
無 → 赤色
10s → 緑色
25s → 青色

Vis (550nm) 照射
無 → 青色
30s → 緑色
120s → 赤色



左の円: 赤色
右の円: 緑色
背景: 青色

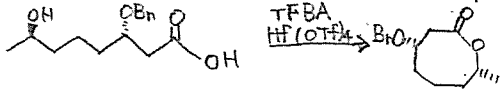
• UV 照射時間を制御することで、同一平面上で異なる色の反射光を出すこともできる。

• ドーパントが低濃度 (7.7wt% in E7) →
① 熱に対して安定でらせん構造が保持される。
② UV-Vis で速やかに変化。

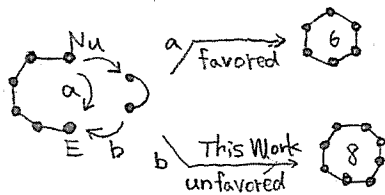
Synthesis of Eight-Membered Lactones: Intermolecular [6+2] Cyclization of Amphoteric Molecules with Siloxy Alkynes

< Previous Work >

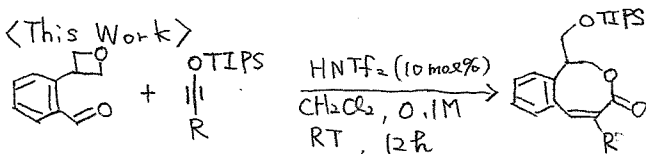
Synthesis of 8-Membered Lactones



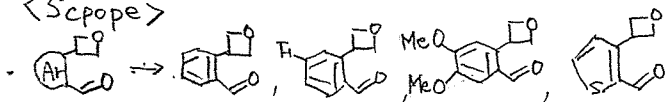
→ intramolecular reaction.



< This Work >



< Scope >

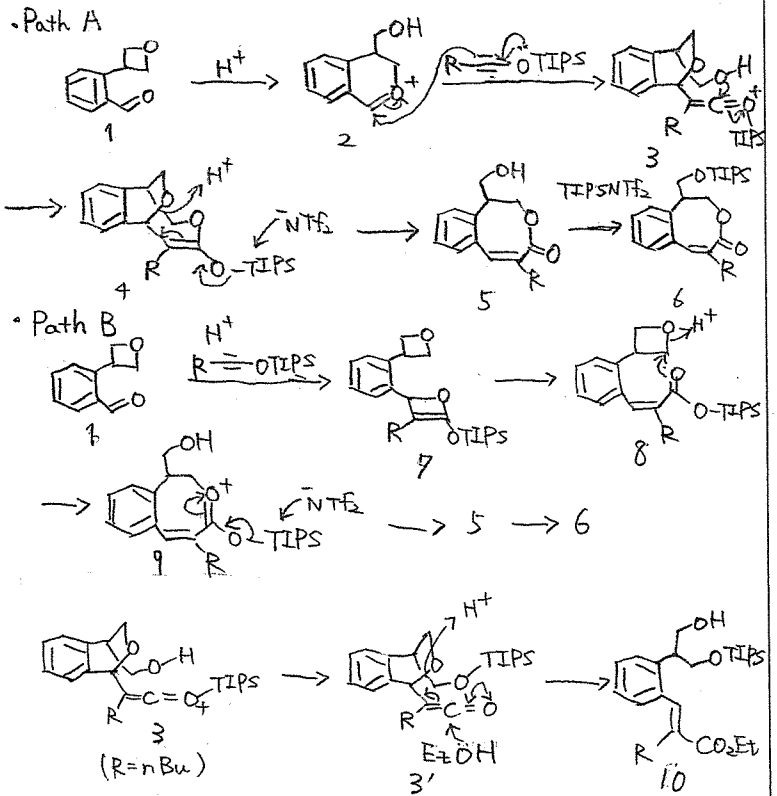


• R ≡ OTIPS → R: nBu, tBu, nOct, Ph

71~87%

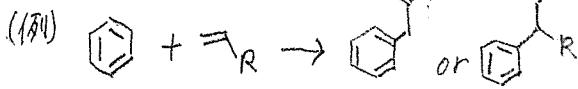
• 濃度 0.1M → 0.5M : 71% → 52% (R = nBu)

< Proposed mechanisms >



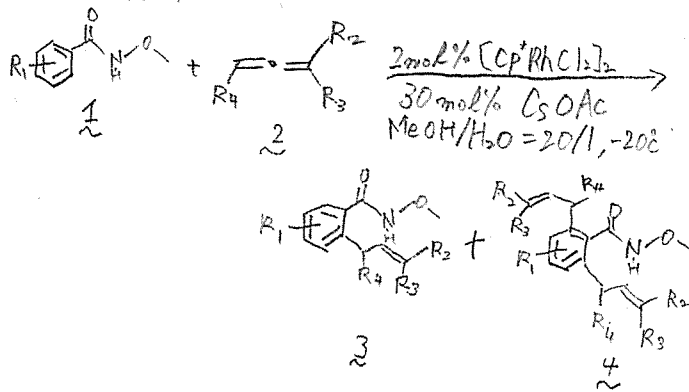
Highly selective mild stepwise allylation of N-Methoxybenzamides with allenes

Hydroarylation



• 一般的高温が必要 (100°C以上)

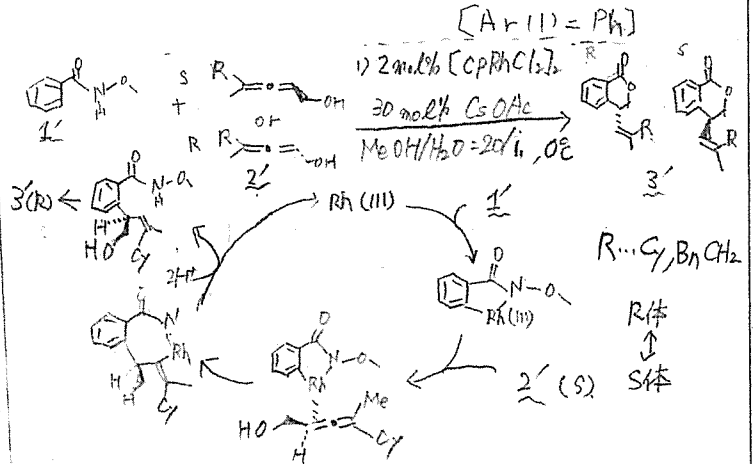
<This work>



⇒ step wise double allylation with allenes.

Ar(1) ... Ph (77%, 4%), 4-Br Ph (72%, 5%),
4-MeOPh (71%, 6%), 2-IPh (69%, 0%) etc
[R₂/R₃/R₄ = Bu/Bu/H]

R₂/R₃/R₄ ... Bu/Ph/H (62%, 2%), Bu/p-tolyl/H (56%, 2%),
-(CH₂)₅-/CH₂OH (58%, 2%), Me/Me/CH₂CO₂Et (53%, 0%)

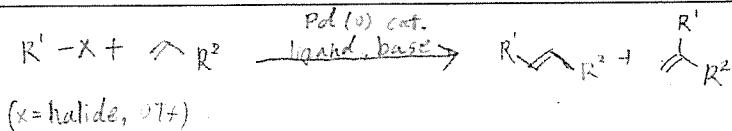


Jianrong .S. Zhou

Nanyang Technological University
(Singapore)ACIE,
DOI: 10.1002/anie.201201806

B4 矢野田

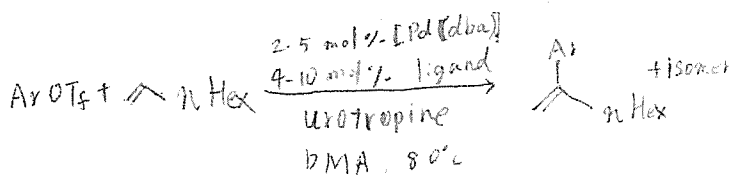
Intermolecular Mizoroki-Heck Reaction of Aliphatic Olefins with High Selectivity for Substitution at the Internal Position



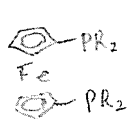
Mizoroki-Heck Reaction

α,β-不飽和炭素に電子的偏りがない
脂肪族α,β-不飽和炭素は位置選択が難しい。

This work



ligand



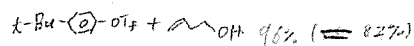
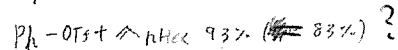
dppf: R = phenyl
dnppf: R = 1-naphthyl
dipppf: R = isopropyl

urotropine

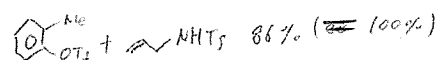
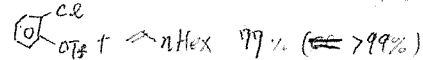


Scope

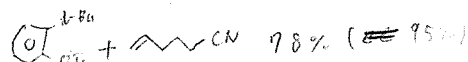
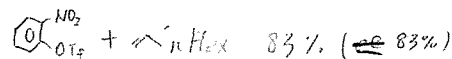
a) Aryl without ortho substituent, L = dnppf



b) Aryl with small ortho substituent L = dipppf



c) Aryl with Large ortho substituent L = dppf



DFT 計算

